

# 锁 相 环 原 理

# 及 计 算 机 辅 助 分 析

田 孝 文 编

成都电讯工程学院出版社

· 1988 ·

## 内 容 提 要

锁相环主要应用于通信、雷达、导航、遥测遥控、电子仪器等技术领域。

本书主要特点是：对锁相环路的稳定性、频域、时域的线性和非线性、相图的绘制和数字锁相环的分析等问题增加了计算机辅助分析，并给出了一、二阶环、高阶环和噪声环路相位误差等的计算程序约28个；将准线性分析范围扩大到跟踪极限，使具有很大的工程价值；非线性分析给出了任意鉴相特性的1— $n$ 阶环的捕捉性能和对加速度信号的捕捉，以及各种环路捕捉性能的比较。

本书原理与应用并重、对频率合成器、锁相接收机等都作了详细的介绍。可供通信工程、无线电技术、电子仪器等有关专业的本科生、研究生和教师以及从事类似技术领域工作的工程技术人员参考。

## 锁 相 环

### 原理及计算机辅助分析

田孝文 编

成都电讯工程学院出版社出版  
四川省石油管理局青年印刷厂印刷  
四川省新华书店发行

开本 787×1092 1/32 印张 20.25 字数 433千字  
版次 1986年5月第一版 印次 1988年12月第二次印刷  
印数 4501—5500册  
中国标准书号 ISBN 7—81016—064—8/TN·19  
(15452·4) 定价：5.60元

# 目 录

## 第一部分 概 论

<b>第一章 工作原理</b> .....	( 1 )
1.1 锁相的性质.....	( 1 )
1.2 环路的基本工作原理.....	( 2 )
1.3 锁相环的应用.....	( 10 )
<b>第二章 环路的基本部件</b> .....	( 12 )

2.1 鉴相器.....	( 12 )
2.2 压控振荡器 ( V C O ) .....	( 45 )
2.3 环路滤波器.....	( 62 )
2.4 锁相环的集成电路.....	( 69 )

## 第二部分 线性分析

<b>第三章 锁相环的线性化</b> .....	( 71 )
3.1 线性化的概念.....	( 72 )
3.2 传递函数.....	( 74 )
3.3 环路的稳定性.....	( 78 )
3.4 用计算机分析稳定性.....	( 106 )
<b>第四章 线性跟踪的时域分析</b> .....	( 143 )

4.1	瞬态响应.....	( 143 )
4.2	稳态误差.....	( 150 )
4.3	用计算机进行时域分析.....	( 152 )
<b>第五章</b>	<b>正弦调制信号的跟踪.....</b>	( 177 )
5.1	正弦相位调制.....	( 177 )
5.2	正弦频率调制.....	( 190 )
5.3	正弦角调制信号响应的计算机分析.....	( 196 )
<b>第六章</b>	<b>噪声性能的线性分析.....</b>	( 208 )
6.1	噪声的基本知识.....	( 208 )
6.2	存在加性噪声的锁相环.....	( 222 )
6.3	存在加性噪声时环路的线性分析.....	( 226 )
<b>第七章</b>	<b>环路性能的最佳化.....</b>	( 236 )
7.1	维纳线性滤波器.....	( 236 )
7.2	锁相环的最佳化.....	( 238 )
<b>第八章</b>	<b>参数的自适应.....</b>	( 252 )
8.1	自动增益控制( A G C ) .....	( 253 )
8.2	限幅器.....	( 262 )
<b>第九章</b>	<b>准线性分析.....</b>	( 272 )
9.1	环路的准线性模型.....	( 272 )
9.2	稳态跟踪误差和同步带.....	( 276 )
9.3	准同步和准同步时间.....	( 282 )
9.4	角调制信号跟踪的准线性分析.....	( 294 )
9.5	噪声性能的准线性分析.....	( 303 )
<b>第三部分 非线性分析</b>		
<b>第十章</b>	<b>环路的捕捉性能.....</b>	( 313 )

10.1	相平面图的基本概念	( 314 )
10.2	一阶环的信号捕捉	( 325 )
10.3	二阶环的信号捕捉	( 332 )
10.4	频率阶跃信号捕捉的近似分析	( 349 )
10.5	加速度信号捕捉的近似分析	( 362 )
10.6	捕捉性能的比较	( 369 )
10.7	锁相环非线性分析的计算机方法	( 376 )
<b>第十一章</b>	<b>辅助捕捉方法</b>	( 418 )
11.1	扫描法	( 418 )
11.2	鉴频鉴相法	( 427 )
11.3	变带宽法	( 434 )
11.4	记忆和锁定指示	( 437 )
<b>第十二章</b>	<b>非线性跟踪</b>	( 440 )
12.1	稳态极限	( 440 )
12.2	瞬时极限	( 440 )
12.3	调制极限	( 444 )
<b>第十三章</b>	<b>噪声性能的非线性分析</b>	( 458 )
13.1	噪声性能的观察	( 458 )
13.2	非线性分析	( 461 )
13.3	其他	( 465 )

## 第四部分 取样锁相环和数字锁相环

<b>第十四章</b>	<b>取样锁相环</b>	( 467 )
14.1	取样保持鉴相器	( 468 )
14.2	取样环路的性能分析	( 477 )

<b>第十五章</b>	<b>数字锁相环</b>	.....	( 487 )
15.1	数字环的分类和部件	.....	( 488 )
15.2	数字环的线性分析	.....	( 501 )
15.3	过零取样数字环(ZC-DPLL)	.....	( 517 )
15.4	计算机分析数字环的时间响应	.....	( 535 )

## 第五部分 锁相环的应用

<b>第十六章</b>	<b>锁相接收机和应答器</b>	.....	( 545 )
16.1	锁相接收机	.....	( 545 )
16.2	相关应答器和测速	.....	( 553 )
<b>第十七章</b>	<b>锁相调制和解调</b>	.....	( 556 )
17.1	锁相调制器	.....	( 556 )
17.2	锁相解调器	.....	( 558 )
<b>第十八章</b>	<b>锁相振荡器和频率合成器</b>	.....	( 584 )
18.1	锁相稳频	.....	( 584 )
18.2	锁相信频和分频器	.....	( 588 )
18.3	频率偏移环路	.....	( 588 )
18.4	频率合成器	.....	( 592 )
<b>第十九章</b>	<b>载波同步和位同步</b>	.....	( 598 )
19.1	载波同步	.....	( 599 )
19.2	位同步	.....	( 604 )
<b>参考文献</b>	.....		( 614 )
<b>附录</b>	<b>国产集成锁相环路性能</b>	.....	( 622 )

# 第一部分 概 述

这部分就锁相环作为负反馈系统作个概括的介绍，并在第二章中介绍了环路的基本部件，使读者对环路有粗略的了解，建立一些感性认识，为以后各部分的分析作准备。

## 第一章 工作原理

### 1.1 锁相的性质

锁相就是自动相位控制（A P C）。完成这一任务的负反馈环称为锁相环（P L L）。

如图1.1所示，锁相环路包含三个基本的部分：鉴相器（P D）环路滤波器（实际是低通滤波器）和压控振荡器（VCO）。

鉴相器将输入信号与压控振荡器输出信号间的相位差进

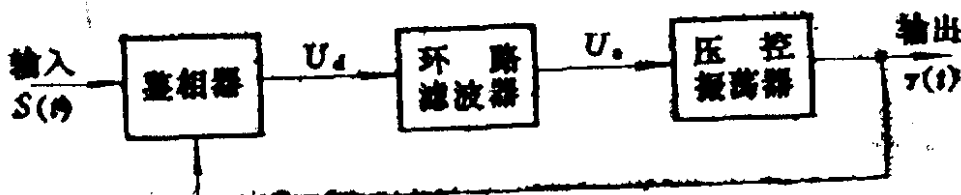


图 1.1 基本锁相环路

行比较，输出一个随相位差而变的误差电压 $U_d$ 。 $U_d$ 经环路滤波器平滑之后加到压控振荡器上，使之朝着减小两信号相位差的方向，改变VCO输出的频率和相位。最后使两信号间的频差消失且相位差足够小而达到锁定（同步）的目的。

## 1.2 环路的基本工作原理

为了便于对环路进行分析和讨论，首先应建立环路的数学模型与相位模型。

### 一、环路的模型

这里分别讨论图 1.1 的三个部件的模型来合成环路的模型。

#### 1. 鉴相器 (P D)

鉴相器是相位比较装置，用来比较输入信号 $S(t)$ 与参考信号 $r(t)$ 间的相位，它输出的电压 $U_d$ 是 $S$ 与 $r$ 之间的相位差 $\varphi$ 的函数。设 $K_d$ 为鉴相器的增益系数，用符号 $g(\cdot)$ 表示鉴相器特性，则 $U_d$ 可表为

$$U_d = K_d g(\varphi) \quad (1.1)$$

鉴相器的电路很多，有相乘电路也有序列电路。它的特性有正弦形、三角形、锯齿形和正切形等多种。作为原理分析，通常总是用正弦形。任何一个理想模拟乘法器都可以作为有正弦特性的鉴相器，如图 1.2 所示。

现设信号 $S(t)$ 为

$$S(t) = U_s(t) \sin[\omega_s t + \theta_s(t)] \quad (1.2)$$

或  $S(t) = U_s(t) \sin \Theta(t) \quad (1.3)$

其中  $U_s(t)$  是信号的幅度, 通常是调幅信号的幅度,  $\Theta(t)$  是信号的总相位

$$\Theta(t) \triangleq \omega_0 t + \theta_s(t) \quad (1.4)$$

$\omega_0$  是信号的工作频率,  $\theta_s(t)$  是信号的瞬时相位。

又设 VCO 输出(参考)信号  $r(t)$  为

$$r(t) = U_r \cos [\omega_0 t + \theta_v(t)] \quad (1.5)$$

或  $r(t) = U_r \cos \Theta_v(t) \quad (1.6)$

式中  $U_r$  是 VCO 的振幅,  $\omega_0$  是 VCO 的自然(中心)频率,  $\theta_v(t)$  是 VCO 的瞬时相位。  $\Theta_v(t)$  是 VCO 输出信号的总相位

$$\Theta_v(t) \triangleq \omega_0 t + \theta_v(t) \quad (1.7)$$

一般情况下, 两信号的频率  $\omega_0$  和  $\omega_0$  是不相等的。锁相环研究和控制的对象是相位, 为了便于比较两信号的相位和简化运算, 现以  $\omega_0 t$  为参考来重新改写信号的总相位为

$$\Theta(t) = \omega_0 t + \theta(t) \quad (1.8a)$$

$$\theta(t) \triangleq (\omega_0 - \omega_0)t + \theta_s(t) \quad (1.8b)$$

其中  $\theta(t)$  是重新定义的信号瞬时相位, 一般的情况下接收机的输入信号相位可表示为

$$\theta(t) = d(t) + M(t) + \Psi_1(t) \quad (1.9)$$

$d(t)$  是信号传输过程中引入的多普勒(Doppler)相移,  $M(t)$  是模拟或数字调制,  $\Psi_1(t)$  是发射机频率相对于  $\omega_0$  不稳定造成的相移。

按上面的新定义, 输入信号可改写为

$$S(t) = U_s(t) \sin(\omega_0 t + \theta(t)) \quad (1.10)$$

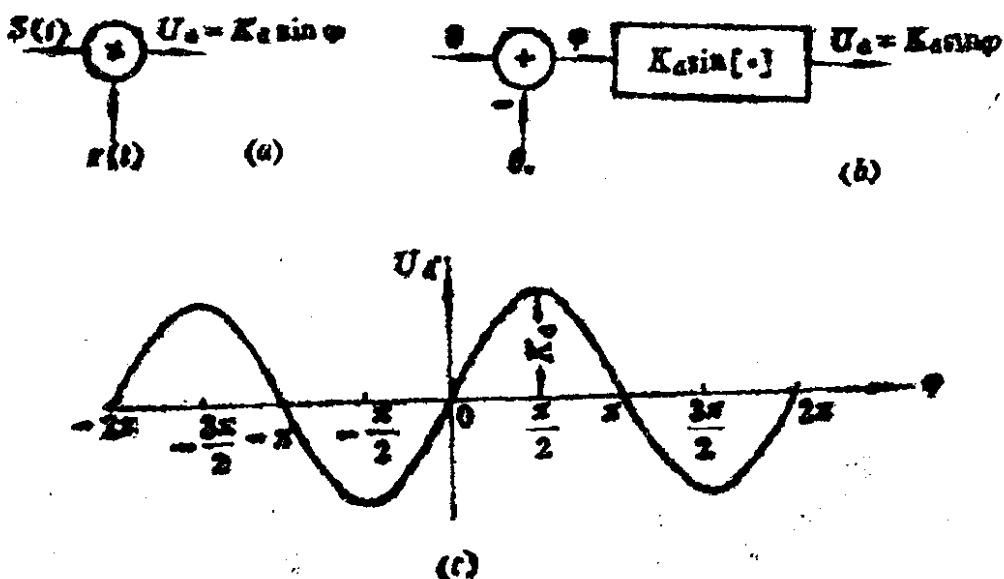


图 1.2 正弦鉴相器 (a) 深化功能方块图,(b) 相位模型; (c) 鉴相特性曲线。

$S(t)$  [按 1.10 式] 与  $r(t)$  经乘法器相乘后输出为

$$\begin{aligned} U_d &= K_m \cdot S(t) \cdot r(t) \\ &= \frac{1}{2} K_m U_s U_r \{ \sin[\theta(t) - \theta_v(t)] \\ &\quad + \sin[2\omega_0 t + \theta(t) + \theta_v(t)] \} \end{aligned}$$

其中  $K_m$  为乘法器的增益系数, 量纲为  $1/V$ , 式中  $2\omega_0$  项被输出端滤波器滤掉, 得到

$$U_d = K_d \sin \varphi(t) \quad (1.11)$$

$$\text{式中 } K_d \triangleq \frac{1}{2} K_m U_s U_r [V/rad] \quad (1.12)$$

$$\varphi(t) \triangleq \theta(t) - \theta_v(t) \quad (1.13)$$

(1.11) 式也就是正弦鉴相器的数学模型, 并表示于图 1.2(a),

也可等效成为图1.2(b),这是锁相技术中最常用的表示法。其特性示于图1.2(c)。

一般特性的鉴相器也用图1.2的方法表示,但要把正弦符号按公式(1.1)改为 $g(\cdot)$ ,如图1.3所示。

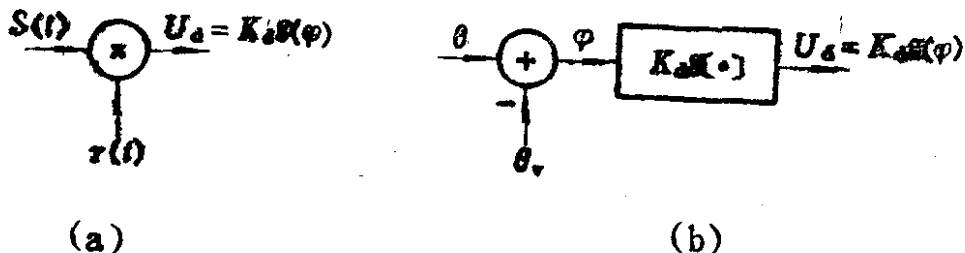


图 1.3 一般鉴相器 (a)简化功能方块图,(b)相位方块图。

## 2. 环路滤波器(LF)

环路滤波器是线性电路,由线性元件电阻、电容和电感组成,有时还包括运算放大器在内。它是低通滤波器,其传递函数通常都很简单。若在零初始条件下讨论,可用传递函数来把输入和输出的拉普拉斯变换联系起来。如图1.4所示。

设环路滤波器的传递函数为 $F(s)$ ,则滤波器的输出 $U_c$ 为

$$U_c(s) = F(s)U_d(s) \quad (1.14)$$

也由于不考虑初始条件,可将拉氏算符 $s$ 用微分算符 $p \triangleq d/dt$ 与之对应,因而也有

$$U_c(p) = F(p)U_d(p) \quad (1.15)$$

## 3. 压控振荡器(VCO)

压控振荡器是振荡频率 $\omega_v(t)$ 受控制电压 $U_c(t)$ 控制的振荡器。我们要求频率 $\omega_v$ 与输入的控制电压 $U_c$ 之间是线性关系。如图1.5所示,图中的线性段可用下列方程表示

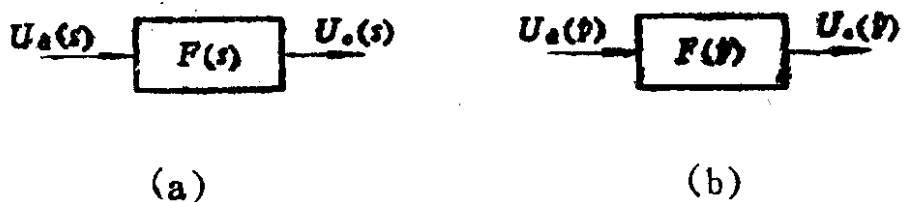


图 1.4 环路滤波器模型

$$\omega_v = \omega_0 + K_v U_c(t) \quad (1.16)$$

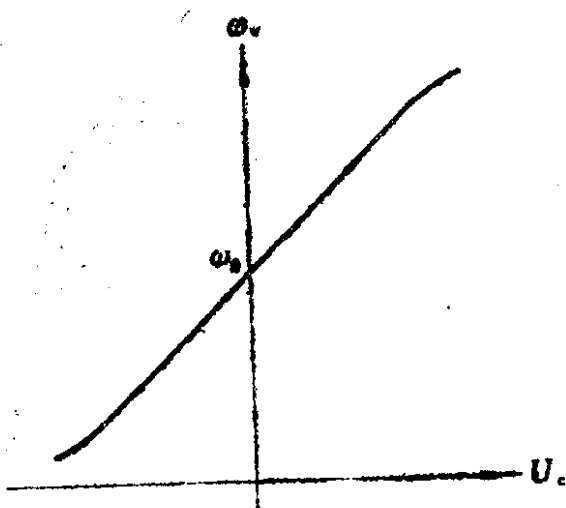


图 1.5 压控振荡器特性

式中  $\omega_0$  是由 VCO 中的固定偏置决定的中心频率， $K_v$  是 VCO 特性曲线的斜率，也称为 VCO 增益，量纲为 rad/s·V。由于通常使用特性的线性部分，故式 (1.16) 代表了 VCO 的频率控制特性。

在锁相环路中，VCO 输出对鉴相器起作用的不是瞬时频率而是瞬时相位，此瞬时相位由(1.16)式积分得到

$$\int_0^t \omega_v(t) dt = \omega_0 t + K_v \int_0^t U_c(t) dt \quad (1.17)$$

将(式1.17)与式(1.16)比较，得到以  $\omega_0 t$  为参考的输出相位瞬时值为

$$\theta_v(t) = K_v \int_0^t U_c(t) dt \quad (1.18)$$

由此可见，VCO在锁相环中起了一次积分的作用，故又称它为环路中的固有积分环节，因而在锁相环中，VCO是电压—相位变换器。为了方便，用微分算符将式(1.18)式可改写为

$$\theta_v(t) = K_v U_c(t) / p \quad (1.19)$$



图 1.6 压控振荡器模型

图1.6是VCO的模型。

将图1.3(b)、图1.4(b)和图1.6按图1.1的组合连接起来，就构成了图1.7的锁相环的数学模型，它清楚的表示了环路相位的反馈关系，它又称为环路的相位模型。

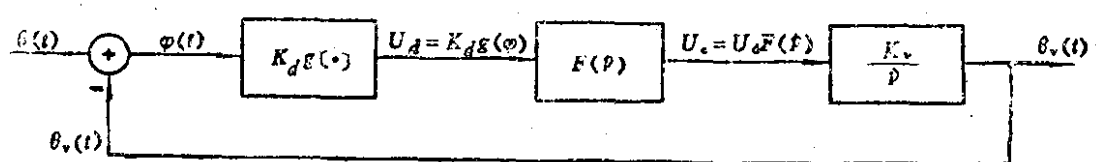


图 1.7 锁相环路的相位模型

由图1.7可以写出环路方程

$$\begin{aligned} \dot{\varphi} &= \theta - \theta_v \\ &= \theta - K F(p) \frac{1}{p} g(\varphi) \end{aligned} \quad (1.20)$$

式中  $K = K_d K_v$  称环路开环增益常数，若有时增益  $K_d K_v$  不够高，环路内还引入增益为  $K_A$  的直流放大器，则这时的  $K = K_d K_A K_v$ 。 $\theta$  和  $\theta_v$  是  $\theta(t)$  和  $\theta_v(t)$  的简写。以后也常采用这种形式。式(1.20)还可写

$$\dot{\varphi} = \dot{\theta} - K F(p) g(\varphi) \quad (1.21)$$

$$\text{式中 } \dot{\varphi} = d\varphi/dt \quad \dot{\theta} = d\theta/dt$$

式(1.20)和(1.21)是环路的基本方程，以下的讨论都从分析和研究这一方程来进行。

## 二、环路工作过程的定性说明

为了方便，以最简单的情况来进行说明。设开机时参考信号为 $\Theta_r(t) = \omega_0 t$ ,  $\theta_r(t) = 0$ , 输入信号是频率 $\omega_i$ 恒定不变的等幅振荡，即(1.9)式中的 $d(t)$ 和 $M(t)$ 都为零， $\Psi_1(t)$ 变为与时间无关的初始相位 $\theta_{ii}$ ，输入相位变为

$$\begin{aligned}\theta(t) &= (\omega_i - \omega_0)t + \theta_{ii} \\ &= \Omega_0 t + \theta_{ii}\end{aligned}\quad (1.22)$$

式中  $\Omega_0 = \omega_i - \omega_0$  称为起始频差。

当环路开机时，鉴相器输入端两信号之间存在着起始频差 $\Omega_0$ 和起始相差 $\theta_{ii}$ 。若用乘法器作鉴相器，根据式(1.11)可以认为，开机时鉴相器的输出是差拍频率为 $\Omega_0$ 的电压

$$U_d = K_d \sin(\Omega_0 t + \theta_{ii}) \quad (1.23)$$

如果差拍电压 $U_d$ 的频率 $\Omega_0$ 很高，它将被环路(低通)滤波器滤除掉，则控制VCO频率变化的滤波器输出端电压 $U_c$ 基本上是零(不变)，即VCO的频率基本上仍是 $\omega_0$ 。那么，鉴相器输出电压 $U_d$ 的差拍频率仍基本保持为 $\Omega_0$ 不变。这种情况将一直持续下去。

如果 $\omega_i$ 与 $\omega_0$ 的频差 $\Omega_0$ 很小，则鉴相器输出的差拍波将顺利通过环路滤波器，加到VCO的输入端上。在这个差拍电压作用下，VCO的瞬时频率 $\omega$ 就会围绕 $\omega_0$ 在一定范围内摆动。当 $\omega$ 摆动到等于 $\omega_i$ ，且满足一定条件下，就会在这个

频率上稳定下来。这时  $\omega_i - \omega_v = 0$ ，或者说环路的瞬时频差  $\varphi = 0$ ，而相位差  $\varphi$  是个较小的数值且不再随时间变化了。这时鉴相器输出一个较小的直流误差电压，并经滤波器以后去控制 VCO，使它的频率维持在  $\omega_i = \omega_v$  的情况。这时环路的状态称为锁定状态或跟踪（同步）状态，开机至环路锁定以前的这一状态称为捕捉状态。

上述第一种情况是不能捕捉锁定的情况；第二种是能够捕捉锁定的情况。所有这些都将在以后详细讨论。

锁相环从开机到环路锁定为止，所经过的时间  $T_c$  称为捕捉时间。环路能够捕捉成功的最大初始频差  $|\Omega_0| = |\omega_i - \omega_v|$  称为捕捉带，用  $|\Omega_0|$  表示。

在环路处于锁定状态时，如果输入信号的频率或相位稍有变化，立刻会在两信号的相位差上反映出来，鉴相器输出也随之改变并驱使 VCO 的频率和相位发生相应的变化。故锁相环是一个相位自动控制系统，其锁定状态的取得是靠相位差的作用，锁定状态的维持也靠相位差的作用。如果输入信号的频率或相位以一定规律变化，只要它不超出一定范围，VCO 的频率或相位也会以同样规律跟随着变化，环路的这种状态也称跟踪状态。环路锁定时，很缓慢地改变信号频率  $\omega_i$ ，系统能保持跟踪的最大频差  $|\omega_i - \omega_v| \triangleq \Omega_0$  称为同步带。

输入信号经常受到噪声的污染，故噪声也在鉴相器的输出端上出现。使它输出的误差信号  $U$  围绕其中心值抖动。为了抑制噪声，用低通滤波器作环路滤波器。滤波器的截止频率足够低时，它将噪声滤除到忽略不计的程度，使误差信号

得到平滑而不再抖动，输出稳定的控制信号 $U$ 去控制VCO的频率与输入信号频率 $\omega$ 准确一致。换句话说，输入信号虽受到噪声的污染，而VCO的输出却是提纯了的输入信号。因此，可将锁相环看成一种通过信号而抑制噪声的窄带跟踪滤波器。

获得相位锁定的锁相环，具有两个重要特性。一是带宽可以很窄；二是自动跟踪信号频率。锁相接收机正是以这两点作为它的主要用途。窄的带宽可以抑制大量的噪声，所以通常用锁相环把深埋于噪声中的信号恢复出来。

### 1.3 锁相环的应用

先举个空间技术中的例子，已知接收机中噪声功率与带宽成正比，当飞行器发射频率在S波段时，多普勒频移范围大约等于 $\pm 75\text{ kHz}$ ，而锁相接收机带宽可以小到 $3\text{ Hz}$ ，若采用普通超外差技术，灵敏度将降低 $47\text{ dB}$ ，这种代价是受不了的，这就是高灵敏度接收机要采用窄带锁相跟踪接收机的原因。

以下仅简单列举锁相环路在无线电领域的应用。

(1)载波跟踪：在相干通信技术中，从一个受噪声污染的接收信号中，恢复一个提纯了的载波。这在载波跟踪中是很重要的。

(2)抑制载波跟踪：许多系统要求在发射信号中不包含载波成分，用锁相环能从接收到的信号中恢复这些载波成分。

(3) 模拟与数字调制信号的相干解调：锁相环提取出来的载波参考信号与输入信号一起加到乘法器，通过相乘作用，将输入信号的调制成分解调出来。这种解调方式称相干解调。例如用锁相环作频率解调器，它的性能比普通鉴频器高得多。

(4) 位同步提取：在数字通信的接收系统中，首先应建立载波及副载波（如果有的话）的同步，获得相干解调，然后就是建立位同步（比特同步）。提供准确的定时信息。锁相环能直接从接收的数据比特流中提取定时信息。无论从经济、可靠和抗干扰方面它都是很有效的。

(5) 锁相稳频：将含有噪声的振荡器放在锁相环内，把它锁到一个纯的信号上，使振荡器本身的噪声被抑制，它的输出将大大提纯。例如用它稳定微波振荡器。

(6) 测量飞行器的速度和距离：一个锁相接收机在锁定时没有频率误差，因而能恢复多普勒频率，用以测定飞行器的速度。速度的积分得到距离。也可直接从信号脉冲的延迟测得飞行器的距离。

(7) 用锁相环作倍频器和分频器：锁相环可以对输入频率进行  $N/M$  次分（倍）频（ $N$  和  $M$  都是整数）。这一技术也用于飞行器上的相干应答器。

(8) 频率合成：锁相环有优良的分频倍频和频率变换性能，是间接式频率合成器的重要组件，在现代通讯、雷达、电子讯仪器及频率标准中都广泛的被使用。